

## · 论著 ·

# MIR17HG 在脑膜瘤中的表达及临床意义

杨震 宋景军 杨伟 行治国

**【摘要】**目的 探讨 miR-17-92 基因簇宿主基因(MIR17HG)在脑膜瘤中的表达及临床意义。方法 收集 2018 年 11 月至 2022 年 3 月手术切除的 115 例脑膜瘤标本,另选择 80 例因颅脑损伤减压术中切除的非主流脑组织为对照组。采用实时荧光定量 PCR 法检测 MIR17HG 水平。脑膜瘤病人术后随访术后随访至 2023 年 11 月 30 日或死亡,记录肿瘤无进展时间和总体生存时间。结果 与对照组相比,脑膜瘤组织 MIR17HG 水平显著增加( $P<0.05$ );而且 WHO 分级 II、III 级脑膜瘤组织 MIR17HG 水平显著高于 WHO 分级 I 级脑膜瘤( $P<0.05$ )。术后随访 0.5~6.0 年,中位随访时间 3.5 年;肿瘤复发/进展 28 例,死亡 14 例。多因素 Cox 回归分析显示,MIR17HG 高表达是脑膜瘤病人生存预后不良的独立危险因素( $OR=1.734; 95\% CI 1.304\sim 2.305; P<0.001$ )。生存曲线分析显示,MIR17HG 低表达脑膜瘤无进展生存时间( $5.30\pm 0.18$  年 vs.  $3.94\pm 0.31$  年)和总体生存时间( $5.80\pm 0.09$  年 vs.  $4.75\pm 0.27$  年)明显延长( $P<0.05$ )。结论 脑膜瘤 MIR17HG 表达水平显著上调,而且其高表达预示着脑膜瘤预后不良。

**【关键词】**脑膜瘤;miR-17-92 基因簇宿主基因(MIR17HG);预后

**【文章编号】**1009-153X(2024)12-0729-05   **【文献标志码】**A   **【中国图书资料分类号】**R 739.41; Q 786

## Expression of MIR17HG in meningioma and its clinical significance

YANG Zhen, SONG Jing-jun, YANG Wei, XING Zhi-guo. Department of Neurosurgery, Weinan Central Hospital, Weinan 714000, China

**【Abstract】** Objective To explore the expression and clinical significance of the miR-17-92 gene cluster host gene (MIR17HG) in meningiomas. Methods A total of 115 meningioma specimens were collected from November 2018 to March 2022, and 80 non-tumor brain tissues removed during decompressive craniectomy for craniocerebral injury were selected as the control group. The level of MIR17HG was detected by real-time fluorescence quantitative PCR. The patients with meningioma were followed up until November 30, 2023, or death, and progression-free survival (PFS) and overall survival (OS) were recorded. Results Compared with the control group, the level of MIR17HG in meningioma tissues was significantly increased ( $P<0.05$ ); moreover, the level of MIR17HG in WHO grade II and III meningioma tissues was significantly higher than that in WHO grade I meningioma ( $P<0.05$ ). The postoperative follow-up period was 0.5 to 6.0 years, with a median follow-up time of 3.5 years; 28 cases of tumor recurrence/progression and 14 deaths were recorded. Multivariate Cox regression analysis revealed that high expression of MIR17HG was an independent risk factor for poor prognosis in patients with meningioma ( $OR=1.734; 95\% CI 1.304\sim 2.305; P<0.001$ ). Survival curve analysis demonstrated that the PFS ( $5.30\pm 0.18$  years vs.  $3.94\pm 0.31$  years) and the OS ( $5.80\pm 0.09$  years vs.  $4.75\pm 0.27$  years) of meningiomas with low expression of MIR17HG were significantly prolonged ( $P<0.05$ ). Conclusion The expression level of MIR17HG in meningiomas is significantly upregulated, and its high expression indicates a poor prognosis for meningiomas.

**【Key words】** Meningioma; Host gene of miR-17-92 gene cluster (MIR17HG); Prognosis

脑膜瘤是颅内常见的肿瘤,以良性肿瘤为主<sup>[1,2]</sup>,但术后仍有复发风险<sup>[3~5]</sup>。复发已成为脑膜瘤临床管理的一个问题。探讨脑膜瘤的发病机制,对寻找新的治疗方法具有重要临床意义。miR-17-92 基因簇宿主基因(miR-17-92 cluster host gene, MIR17HG),位于染色体 13q31,在许多人类肿瘤中异常表达<sup>[6~8]</sup>,

能促进肿瘤细胞增殖、转移,对许多恶性肿瘤的诊断、预后评估和治疗具有重要意义<sup>[6~12]</sup>。本研究探讨 MIR17HG 在脑膜瘤中的表达及临床意义。

## 1 资料与方法

**1.1 病例选择标准** 纳入标准:术后组织病理学检查证实为脑膜瘤;年龄>18岁;首次诊治;临床资料无缺失。排除标准:椎管内或非原发性脑膜瘤;多发性脑膜瘤;既往有颅内肿瘤或其他肿瘤;有感染迹象;既往颅脑损伤史;最近接受过大手术;合并严重心、肝、肾功能障碍;合并免疫系统、血液系统疾病;精神障碍、依从性差;失访。

**1.2 标本来源** 收集2018年11月至2022年3月手术切除的115例脑膜瘤样本,其中男性73例,女性42例;年龄43~80岁,平均(59.00±9.58)岁;WHO分级I级72例,II级42例,III级1例。选择因颅脑损伤减压术中切除的非肿瘤脑组织80例为对照组,其中男性54例,女性26例;年龄37~82岁,平均(55.27±9.32)岁。

**1.3 MIR17HG的测定** 使用Qiazol试剂(德国Qiagen公司)提取总RNA。使用逆转录试剂盒(美国Thermo Scientific公司)将提取的RNA逆转录成cDNA。然后,采用实时荧光定量PCR(qRT-PCR)法检测MIR17HG的表达水平。qRT-PCR使用日本Takara SYBR Premix Ex Taq(Tli RNaseH Plus)在Rotor-gene 6000实时荧光定量PCR系统(德国Qiagen公司)上运行。PCR循环条件:95℃初始变性10 min,随后进行35个扩增循环(95℃变性40 s,58.5℃退火40 s,72℃延长40 s)。以GADPH作为参照,通过 $2^{-\Delta\Delta Ct}$ 法计算MIR17HG表达水平。引物序列:MIR17HG正向引物序列为5'-AGCCACGAGGTCTTGATTGG-3',反向引物序列为5'-AGCAATCACCGACTCCACTG-3';GADPH正向引物序列为5'-GCACCACCAACTGCT-TA-3',反向引物序列为5'-AGTAGAGGCAGGGAT-GAT-3'。

**1.4 随访及结局指标** 术后随访时间截止2023年11月30日或病人死亡。记录复发时间和总体生存时间。肿瘤复发/进展是由以下至少一种情况决定:随访MRI增强扫描表明肿瘤复发;MRI显示手术区域出现新的增强病灶;经再次手术或活检病理证实。无复发/进展生存时间(progression-free survival,PFS)定义为从手术时间到第一次肿瘤复发/进展的时间间隔。总体生存时间(overall survival,OS)定义为从手术时间到病人全因死亡的时间间隔。

**1.5 统计学处理** 使用SPSS 26.0软件进行分析;计数资料行 $\chi^2$ 检验;正态分布计量资料以 $\bar{x}\pm s$ 表示,进行t检验;偏态分布计量资料以中位数表示,进行Mann-Whitney U检验;使用多因素Cox比例风险回归模型和Kaplan-Meier曲线评估MIR17HG与脑膜瘤病人复发和死亡风险的关联;受试者工作特征(receiver operating characteristic,ROC)曲线评估MIR17HG对脑膜瘤病人复发和死亡风险的预测价值; $P<0.05$ 为差异具有统计学意义。

## 2 结果

**2.1 随访结果** 术后随访0.5~6.0年,中位时间3.5

年。肿瘤复发/进展28例,全因死亡14例。

**2.2 脑膜瘤MIR17HG的表达** 与对照组相比,脑膜瘤组织MIR17HG表达水平显著增加( $P<0.001$ ;图1A);而且,WHO分级II~III级脑膜瘤组织MIR17HG表达水平显著高于WHO分级I级脑膜瘤( $P=0.035$ ;图1B)。

**2.3 MIR17HG表达与脑膜瘤临床、病理特征的关系** 根据MIR17HG表达水平中位值(2.06)分为低表达组(<2.06)和高表达组( $\geq 2.06$ )。脑膜瘤MIR17HG表达水平与WHO分级有关( $P<0.05$ ;表1),而与其他临床、病理特征无明显关系( $P>0.05$ ;表1)。

**2.4 脑膜瘤复发和生存预后的影响因素** 多因素Cox回归分析表明,MIR17HG高表达是脑膜瘤术后复发/进展和死亡风险的独立危险因素( $P<0.05$ ;表2)。

**2.5 生存曲线** Kaplan-Meier生存曲线分析显示MIR17HG低表达脑膜瘤PFS( $5.30\pm 0.18$ 年 vs.  $3.94\pm 0.31$ 年)和OS( $5.80\pm 0.09$ 年 vs.  $4.75\pm 0.27$ 年)较高表达组明显延长( $P<0.05$ ;图2)。

**2.6 ROC曲线分析** MIR17HG水平预测脑膜瘤复发和脑膜瘤相关死亡风险的ROC曲线下面积分别为0.843(95% CI 0.772~0.913)、0.767(95% CI 0.664~0.870),截断值分别为2.10、2.41,特异度分别为81.69%、75.86%,敏感度分别为79.55%、75.00%。见图3。

## 3 讨论

本研究发现,脑膜瘤组织MIR17HG表达普遍升高,而且其高水平与肿瘤复发和脑膜瘤相关死亡风险增加有关,对脑膜瘤有一定预后预测价值。

MIR17HG是miR17-92簇的宿主基因,可促进肿瘤发生、增殖和转移<sup>[7]</sup>。据报道,MIR17HG在骨肉瘤、胶质瘤、宫颈鳞状细胞癌、结直肠癌等中高表达,表现出致癌性<sup>[6~10]</sup>。其基因多态性也对癌症易感性和预后有较大影响<sup>[6,7,11,12]</sup>。因此,MIR17HG可能是多种恶性肿瘤一个有希望的治疗靶点<sup>[6,7,11,12]</sup>。有学者提出MIR17HG可能成为脑膜瘤治疗的新靶点<sup>[13]</sup>,

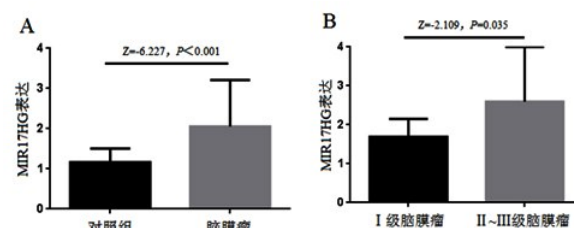


图1 脑膜瘤组织MIR17HG的表达  
Figure 1 Expression of MIR17HG in meningiomas tissues



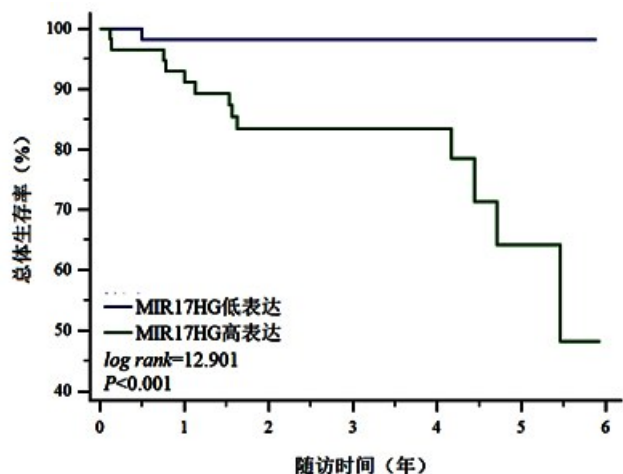
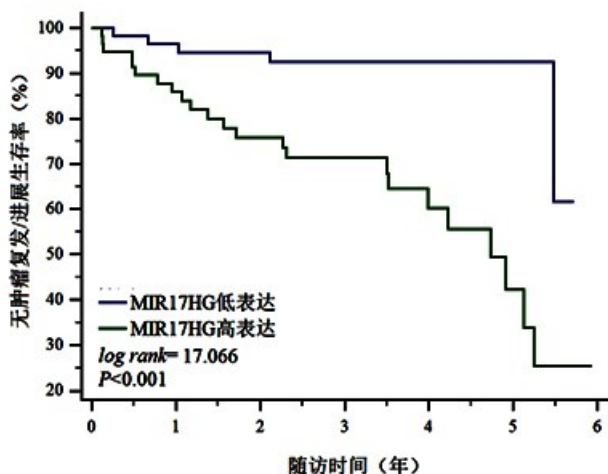


图2 Kaplan-Meier曲线分析AMIR17HG表达水平与脑膜瘤复发和死亡风险的关系

Figure 2 Kaplan-Meier curve analysis of the relationship between AMIR17HG expression level and the risk of recurrence and death in meningioma patients

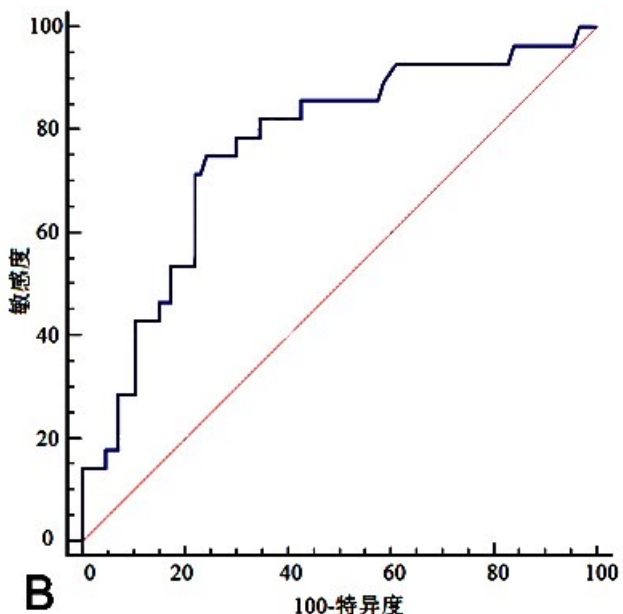
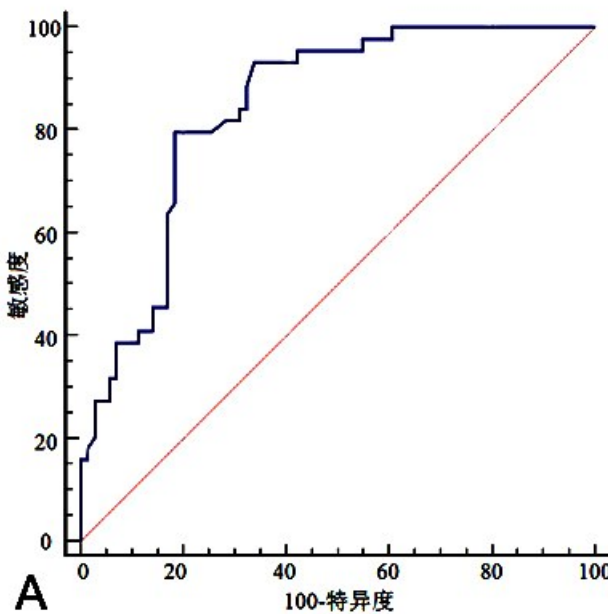


图3 AMIR17HG表达水平预测脑膜瘤复发和死亡风险的ROC曲线

A. 肿瘤复发/进展预测；B. 脑膜瘤相关死亡

Figure 3 ROC curves of AMIR17HG expression level in predicting the risk of recurrence and death in meningioma patients

A. Prediction of tumor recurrence/progression; B. Meningioma-related death

但是该研究缺少临床数据支持。本研究发现脑膜瘤组织MIR17HG表达显著上调,而且MIR17HG水平随着WHO分级的增加而增加,提示MIR17HG表达与脑膜瘤侵袭性和恶性程度的密切关联。

越来越多的研究揭示了MIR17HG作为实体肿瘤预后指标的潜力<sup>[6,9,12]</sup>。研究显示,MIR17HG的高表达与结直肠癌<sup>[6]</sup>、骨肉瘤<sup>[9]</sup>等生存率低相关。本研究结果也表明MIR17HG高表达的脑膜瘤病人PFS和OS明显短于MIR17HG低表达者。MIR17HG高表

达可能是脑膜瘤预后评估的潜在生物标志物。

MIR17HG通过海绵化miRNA和调控多种信号通路(如Wnt/β-连环蛋白)导致脑膜瘤发展<sup>[6,14,15]</sup>。Zhao等<sup>[6]</sup>发现MIR17HG可通过海绵化miR-138-5p来调节激肽释放酶1的表达,导致结直肠癌细胞的糖酵解并促进其侵袭和肝转移。Yan等<sup>[15]</sup>研究显示MIR17HG通过海绵miR-155-5p上调缺氧诱导因子-1α表达,促进视网膜母细胞瘤细胞的增殖、迁移和侵袭。虽然,MIR17HG在脑膜瘤中的具体作用机

制尚未阐明,但MIR17HG有望成为一个很好的靶向治疗尝试,未来有必要进行进一步的机制研究。

本研究仍存在一些局限性,如相对较小的样本量可能存在选择偏差,这限制了研究结果的普遍性;其次,MIR17HG在脑膜瘤中的具体作用机制尚未明确。

总之,脑膜瘤MIR17HG表达水平显著上调,而且其高表达与脑膜瘤肿瘤复发和脑膜瘤相关死亡风险增加有关。

**【伦理学声明】:**本研究遵循《赫尔辛基宣言》,所有病人和/或家属均签署知情同意书。本研究方案于2022年6月15日经渭南市中心医院伦理委员会审批,批号为2022-027-26。

**【利益冲突声明】:**本文不存在任何利益冲突。

**【作者贡献声明】:**杨震负责撰写论文及修改论文;宋景军负责文章构思及修改论文;杨伟负责收集资料、分析数据;行治国负责研究设计,对文章知识型内容进行指导研究。

#### 【参考文献】

- [1] HANNA JRC, WILLMAN M, COLE D, et al. Review of meningioma diagnosis and management [J]. Egypt J Neurosurg, 2023, 38(1): 16–23.
- [2] NESLUND O, STRAND PS, SKOGLUND T, et al. Overview and recent advances in incidental meningioma [J]. Expert Rev Anticancer Ther, 2023, 23(4): 397–406.
- [3] OGASAWARA C, PHILBRICK BD, ADAMSON DC. Meningioma: a review of epidemiology, pathology, diagnosis, treatment, and future directions [J]. Biomedicines, 2021, 9(3): 319–340.
- [4] RANA R, RATHI V, CHAUHAN K, et al. Exploring the role of epidermal growth factor receptor variant III in meningeal tumors [J]. PLoS One, 2021, 16(9): e0255133.
- [5] OYA S, IKAWA F, ICHIHARA N, et al. Nation-wide brain tumor registry-based study of intracranial meningioma in Japan: analysis of surgery-related risks [J]. Neurol Med Chir (Tokyo), 2021, 61(2): 98–106.
- [6] ZHAO S, GUAN B, MI Y, et al. LncRNA MIR17HG promotes colo-rectal cancer liver metastasis by mediating a glycolysis-associated positive feedback circuit [J]. Oncogene, 2021, 40(28): 4709–4724.
- [7] XU J, HU M, GAO Y, et al. LncRNA MIR17HG suppresses breast cancer proliferation and migration as ceRNA to target FAM135A by sponging miR-454-3p [J]. Mol Biotechnol, 2023, 65(12): 2071–2085.
- [8] DENG HS, LIU YB. Overexpression of lncRNA MIR17HG promotes the malignant biological behaviors of cervical cancer HeLa cells and the growth of transplanted tumors in nude mice [J]. Chin J Cancer Biotherapy, 2022, 29(8): 741–749.
- [9] MENG Y, HAO D, HUANG Y, et al. Positive feedback loop SP1/MIR17HG/miR-130a-3p promotes osteosarcoma proliferation and cisplatin resistance [J]. Biochem Biophys Res Commun, 2020, 521(3): 739–745.
- [10] LIU H, ZHU C, XU Z, et al. lncRNA PART1 and MIR17HG as ΔNp63α direct targets regulate tumor progression of cervical squamous cell carcinoma [J]. Cancer Sci, 2020, 111(11): 4129–4141.
- [11] CHAO X, FENG X, SHI H, et al. MIR17HG polymorphism (rs7318578) is associated with liver cancer risk in the Chinese Han population [J]. Biosci Rep, 2020, 40(8): BSR20193312.
- [12] FENG J, OUYANG Y, XU D, et al. Genetic variants in MIR17HG affect the susceptibility and prognosis of glioma in a Chinese Han population [J]. BMC Cancer, 2020, 20(1): 976–984.
- [13] TAN F, CHEN J, DU Z, et al. MIR17HG: a cancerogenic long-non-coding RNA in different cancers [J]. Curr Pharm Des, 2022, 28(15): 1272–1281.
- [14] YUAN G, LIU B, HAN W, et al. LncRNA-MIR17HG mediated upregulation of miR-17 and miR-18a promotes colon cancer progression via activating Wnt/β-catenin signaling [J]. Transl Cancer Res, 2019, 8(4): 1097–1108.
- [15] YAN J, DENG YX, CAI YL, et al. LncRNA MIR17HG promotes the proliferation, migration, and invasion of retinoblastoma cells by up-regulating HIF-1α expression via sponging miR-155-5p [J]. Kaohsiung J Med Sci, 2022, 38(6): 554–564.

(2024-08-29收稿,2024-09-20修回)